



## ردیابی نقطه بیشینه توان (MPPT) در سیستمهای فتوولتائیک، با استفاده از کنترلر پیش بین (MPC)

مسلم قاسمی	سعید رضا صید نژاد	مليحه مغفورى فرسنگى	جابر غضنفرى
دانشگاه شهید باهنر کرمان			
کرمان - ایران	کرمان - ایران	کرمان - ایران	کرمان - ایران

واژه‌های کلیدی: سیستمهای فتوولتائیک، ردیابی نقطه بیشینه توان (MPPT)، کنترل پیش بین (MPC).

نمی تواند بین دو عامل ذکر شده مصالحه ایجاد کند.

در این مقاله علاوه بر بهبود بخشیدن الگوریتم رسانایی افزایشی، جهت ردیابی و استخراج جریان نظیر نقطه توان ماکریم به معروفی یک روش جدید مبتنی بر کنترل پیش بین (MPC)<sup>۱</sup>، پرداخته. لازم به ذکر است که روش ارائه شده به صورت Real-Time بوده، و نتایج حاصل از شبیه سازی، دقت و سرعت این روش را تصدیق خواهد کرد.

### ۱ - مقدمه:

علاوه بر هزینه بالا، غیر خطی بودن مشخصه خروجی آرایه های فتوولتائیک، وابستگی آنها به شدت تابش و دمای محیط باعث شده اند که استفاده از این سیستمهای بدون به کارگیری روشهای کنترلی مناسب و مبدل‌های الکترونیک قدرت مقرنون به صرفه نباشند. جهت استفاده از حداکثر توان آرایه های خورشیدی، سیستم باستی در نقطه ماکریم توان به تعادل برسد. با استناد

چکیده

با توجه به هزینه بالای سیستمهای فتوولتائیک، بهره گیری از حداکثر راندمان این منابع قدرت یک ضرورت اساسی و غیر قابل انکار بشمار می آید. سلولهای خورشیدی به ندرت در نقطه ماکریم توان کار می کنند، زیرا توان خروجی سلول به شدت تحت تاثیر دو عامل تابش و دمای محیط تغییر می کند. بنابراین در افزایش راندمان این سیستمهای ردیابی نقطه حداکثر توان (MPPT)<sup>۲</sup>، نقش مهم و کلیدی را ایفا می کند.

روشهای ردیابی نقطه ماکریم توان معرفی شده تا به اکنون از نقطه نظر دقت و سرعت ردیابی تحت الشاع بوده اند، و در عمل نتوانسته اند هر دو عامل ذکر شده را بهبود بخشدند. از آنجمله می توان به روشهای کسری از جریان اتصال کوتاه و ولتاژ مدار باز، بالا رونده قله، آشقتن و مشاهده، رسانایی افزایشی، روش سلول پایلوت، منطق فازی، شبکه های عصبی ... اشاره کرد. در این میان روش رسانایی افزایشی (INC)<sup>۳</sup> از سرعت و دقت نسبتاً خوبی برخوردار بوده، اما به خوبی

<sup>۱</sup> Model Predictive Control

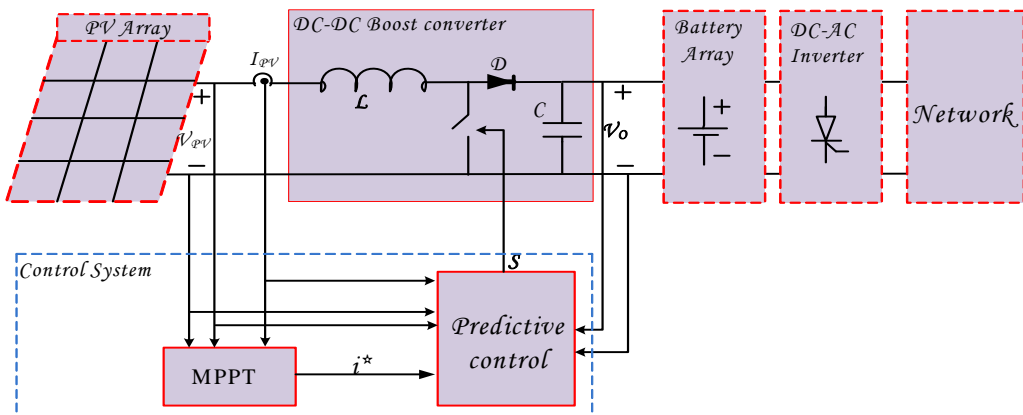
<sup>۲</sup> Maximum Power Point Tracking  
<sup>۳</sup> Incremental Conductance

## بیست و ششمین کنفرانس بین‌المللی برق

بخشیدن به کارکرد این سیستمها طراحان از کنورترهای DC-DC استفاده می‌کنند. این وسیله به طور پیوسته می‌تواند ورودی بار را با ماکزیمم توان تولیدی پانل تطبیق دهد، با تطبیق دادن بار و پانل‌های خورشیدی بوسیله کنترلرهای دنبال کننده توان ماکزیمم (MPPT)، می‌توان کارایی سیستم را تحت تاثیر قرار داده و سبب افزایش راندمان سیستم شد.  
[1] سیستمهای فتوولتائیک معمولاً با یک مبدل DC-DC باتری و اینورتر به شبکه برق متصل می‌شوند. شکل (۱) در ولتاژ آرایه خورشیدی برنامه ریزی شده است.

به این مطلب که منحنی مشخصه سلول فتوولتائیک به میزان تشعشع دریافتی از خورشید و دمای سلول بستگی دارد، نقطه ماکزیمم توان آرایه نیز دستخوش تغییرات خواهد بود و همچنین نقطه کارکرد بیشتر بارها در تمامی سطوح تشعشع و دما از نقطه ماکزیمم توان آرایه در هنگام کار دور می‌باشد، لذا همین امر مانع استفاده از حداکثر توان خروجی آرایه می‌شود.

پیرو این موضوع رسیدن به یک تطابق بهینه توان در تمامی تشعشع‌ها و دمایها کار دشواری است مگر اینکه در طراحی از یک دستگاه تطابق دهنده بهینه توان استفاده شود. برای بهبود



شکل (۱): اجزای سیستم فتوولتائیک و نحوه اتصال آن به شبکه توزیع

- در دو روش P&O و HIC نوسانهای حالت پایا به دلیل آشفتن‌های متناوب همواره وجود دارد.
- رسانایی افزایشی (INC)؛ [4,5] مبنای کارکرد این روش تغییرات صفر توان آرایه بر حسب ولتاژ در نقطه ماکزیمم توان است. در این روش دقت و سرعت ردیابی نقطه ماکزیمم توان تحت تغییرات سریع محیطی نسبتاً بهتر شده است. هر چند این روش از پیچیدگی اجراء بیشتری نسبت به روش P&O برخوردار است ولی با پروسسورهای دیجیتالی پیشرفت‌هه به راحتی قابل پیاده سازی است.
- شبکه‌های عصبی؛ [6,7]
- منطق فازی؛ [7,8]

- روشهای متعددی برای ردگیری نقطه توان ماکزیمم پیشنهاد شده اند، از آن جمله می‌توان به روشهای زیر اشاره کرد.
- کسری از جریان اتصال کوتاه و ولتاژ مدار باز؛ این روش به دلیل اندازه گیری جریان اتصال کوتاه و ولتاژ مدار باز نیاز به جدا نمودن آرایه از سیستم دارد لذا مقداری از توان به هدر می‌رود(سکومن و همکاران، ۱۹۸۲)؛ [2]
- بالا رونده قله (HIC)<sup>۱</sup>؛ [2] این روش بر اساس تغییر در دوره کار کانورتر توان کار می‌کند.
- آشفتن و مشاهده (P&O)<sup>۲</sup>؛ [3] این روش بر اساس تغییر

<sup>۱</sup> Hill Climbing

<sup>۲</sup> Perturbation & Observation

## بیست و ششمین کنفرانس بین المللی برق

دیودها هستند که مقداری بین ۱ تا ۲ دارند. همانطور که گفته شد، مشخصه I-V سلول خورشیدی تحت تأثیر دو عامل تابش و دما تغییر می کند این وابستگی به دما و تابش با روابط زیر مدل شده اند. [12]

$$I_{ph}(S) = I_{ph} \times \left( \frac{S}{S_{ref}} \right) \quad (2)$$

$$I_{ph}(T_c) = I_{ph} \{ 1 + T_{lp1}(T_c - T_m) \}$$

$$\begin{aligned} R_s(T_c) &= R_s \times \left( \frac{T_c}{T_m} \right)^{T_{rs}}, R_p(T_c) = R_p \times \left( \frac{T_c}{T_m} \right)^{T_{rp}} \\ I_{si}(T_c) &= I_{si} \left( \frac{T_c}{T_m} \right)^{C_i} \times \exp \left\{ E_G \left( \frac{T_c}{T_m} - 1 \right) / n_i V_t \right\} \\ C_i &= T_{isi} / n_i, i = 1, 2. \end{aligned} \quad (3)$$

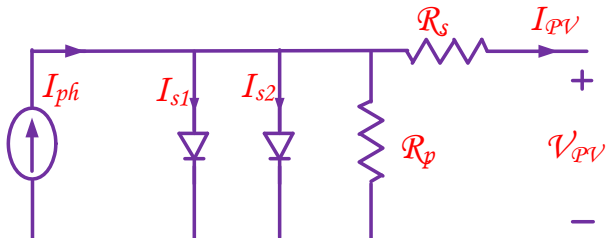
در معادلات (۳)،  $S$  میزان تابش خورشید بر حسب وات بر متر مربع،  $T_c$  دمای سلول بر حسب کلوین،  $T_m = 25^\circ C$  و  $S_{ref} = 1000 W/m^2$ ، شرایط استاندارد کاری سلول خورشیدی هستند و  $E_G$  باند انرژی که بزرگتر از  $1.1 eV$  است.  $T_{lp1}, T_{Is1}, T_{Is2}, T_{Rs}, T_{Rp}$  ضرایب بدون بعد حرارتی مربوط به جریانها و مقاومتهای سلول هستند که برای هر سلول این مقادیر مشخص و ثابت اند. معمولاً اطلاعاتی را که تولید کنندگان آرایه های خورشیدی در اختیار مصرف کنندگان قرار می دهند عبارتند از: جریان اتصال کوتاه نامی ( $I_{sc,n}$ )، ولتاژ جریان در نقطه ماكزييم توان خروجى تجربى ( $P_{max}$ ). که اين اطلاعات در شرایط استاندارد اخذ می شوند. برای افزایش جریان و ولتاژ خروجی آرایه های خورشیدی و به تبع آن دریافت توان بیشتر، سلولها را به ترتیب به صورت موازی و سری به یکدیگر متصل می کنند. در این مقاله از ترکیب ۲۵ سلول خورشیدی به صورت موازی استفاده شده است، که مشخصات آرایه ایجاد شده در جدول (۱) ارائه شده است.

روشهای عصبی و منطق فازی بر مشخصات غیر خطی آرایه خورشیدی تکیه کرده اند و جایگاه نسبتاً خوبی را جهت ردیابی نقطه ماکزييم بدست آورده اند.

در این مقاله روش ارائه شده بر مبنای کنترل پیش بین (MPC) [9-11] پایه ریزی شده و نتایج حاصل از شبیه سازی آن در Matlab نشان دهنده سرعت و دقیقیت این روش است.

### ۲- مشخصه جریان- ولتاژ آرایه های فتوولتائیک

شکل (۲) نشان دهنده مدار معادل دو دایودی یک سلول خورشیدی است. [12] آرایه های خورشیدی از ترکیب سری و موازی این سلولها تشکیل می شوند



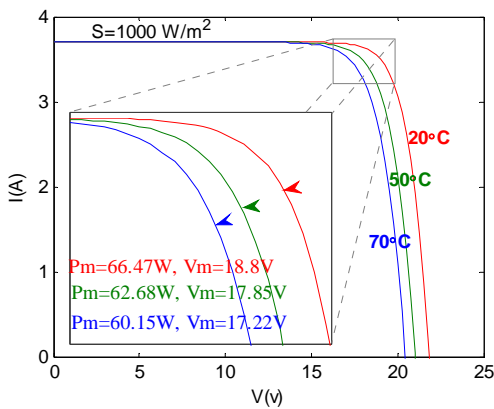
شکل (۲): مدار معادل دو دایودی یک سلول خورشیدی

در مدل ارائه شده، شکل (۲)  $I_{s1}, I_{s2}$  جریان اشباع دیودها  $I_{ph}$  جریان اتصال کوتاه و  $R_s, R_p$  مقاومت موازی و سری سلول می باشند. معادله مشخصه I-V سلول خورشیدی ارائه شده به صورت زیر قابل بیان است.

$$\begin{aligned} I &= I_{ph} - I_{s1} \left\{ \exp \left( \frac{V + R_s I}{n_1 V_t} \right) - 1 \right\} \\ &- I_{s2} \left\{ \exp \left( \frac{V + R_s I}{n_2 V_t} \right) - 1 \right\} - \left( \frac{V + R_s I}{R_p} \right) \end{aligned} \quad (1)$$

در این رابطه،  $V_t = KT/q$  ولتاژ حرارتی که در دمای  $300$  درجه کلوین برابر  $26 mV$  است و در آن  $1.38 \times 10^{-23}$  ثابت بولتزمن بر حسب ژول بر کلوین و  $1.6 \times 10^{-16}$  بار یک الکترون بر حسب کولن می باشد.  $n_1, n_2$  ضرایب ایده آلی

## بیست و ششمین کنفرانس بین المللی برق



شکل (۴): مشخصه جریان-ولتاژ آرایه خورشیدی در دماهای مختلف

از روش‌های گفته شده در این مقاله روش رسانایی افزایشی به دلیل داشتن سرعت مناسب در تغییرات سریع جوی مورد استفاده قرار گرفته است. این روش (INC) بر اساس نسبت تغییرات ولتاژ به جریان پایه ریزی شده، با توجه به این که تغییرات توان نسبت به ولتاژ در نقطه ماکزیمم توان صفر است ( $dP/dv = 0$ ) بنابر این می‌توان نوشت:

$$dp/dv = d(iv)/dv = i + v \cdot di/dv = 0 \quad (3)$$

زمانی که رابطه  $v/i = -di/dv$  برقرار گردد، نسبت تغییرات توان بر حسب تغییرات ولتاژ صفر خواهد شد و نقطه بیشینه توان بدست خواهد آمد. شکل (۵) روند الگوریتم رسانایی بهبود یافته را نشان می‌دهد.

که در فلوچارت شکل (۵)، K زمان نمونه برداری در لحظه  $t$  و  $k-1$  زمان نمونه برداری در  $\Delta t$  لحظه قبل است.  $i^*$  جریان مرتع و روادی کنترلر پیش بین (MPC) است، که این جریان از تغییر در جریان لحظه ای ( $i_{L(k)}$ ) حاصل می‌شود نه از تغییر در جریان مرتع لحظه قبل ( $i^{*(k-1)}$ ). این تغییر به سیستم این توانایی را می‌دهد که با استپ های بزرگتر ( $i_{inc}$ ) نقطه بیشینه توان (MPP) را با سرعت بیشتری ردیابی کند.

جدول (۱): مشخصات آرایه فتوولتائیک استفاده شده، جهت شبیه سازی

۳.۷	A	جریان اتصال کوتاه آرایه
۲۲	V	ولتاژ مدار باز آرایه
۳.۴	A	جریان نظری نقطه ماکزیمم توان
۷		ولتاژ نظری نقطه ماکزیمم توان
۱۸.	V	ولتاژ نقطه ماکزیمم توان
۷		ماکزیمم توان
۶۵	W	ماکزیمم توان
۳	--	ضریب (توان) حرارتی جریان اشباع ( $T_{Isi}$ )

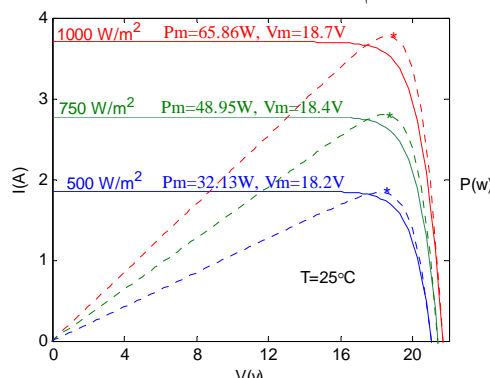
(شبیه سازیها در مطلب و از سلول خورشیدی موجود در این محیط استفاده شده است).

## ۳- ردیابی نقطه ماکزیمم توان (MPPT)

## با روش رسانایی افزایشی بهبود یافته (INC)

همانطور که می‌دانیم منحنی جریان- ولتاژ آرایه ها و به تبع آن نقطه بیشنه توان به شدت تابش و دما وابستگی زیادی دارد. بنابر این وظیفه کنترلر در ردیابی نقطه ماکزیمم توان انتقال نقطه کار آرایه به سمت زانوی منحنی جریان-ولتاژ یا همان نقطه ماکزیمم منحنی توان بر حسب ولتاژ است.

شکل (۴) در سیستم های فتوولتائیک خروجی این کنترلر به یک مبدل DC-DC (بوست) جهت تنظیم سطح ولتاژ اعمال می‌شود. از آنجایی که گرفتن سیگنال پسخور از شدت تابش و دمای آرایه کار ساده‌ای نیست، بنابراین باید از روش‌هایی استفاده شود که بدون گرفتن پسخور از دما و تابش، کنترلر بتواند همواره خروجی مناسب جهت ردیابی نقطه بیشینه توان را برای مبدل فراهم کند.



شکل (۳): نمودار جریان و توان آرایه خورشیدی بر حسب ولتاژ در تابش های مختلف

### بیست و ششمین گنفرانس بین المللی برق

در حالت سوئیچ باز: (S=1)

$$\frac{di_L}{dt} = \frac{v_{PV}}{L} - \frac{v_o}{L} \quad (4)$$

$$\frac{dv_{PV}}{dt} = -\frac{i_L}{C_1} + \frac{i_{PV}}{C_1} \quad (5)$$

$$\frac{dv_o}{dt} = \frac{i_L}{C_2} - \frac{v_o}{RC_2} \quad (6)$$

و در حالت سوئیچ بسته: (S=0)

$$\frac{di_L}{dt} = \frac{v_{PV}}{L} \quad (7)$$

$$\frac{dv_{PV}}{dt} = -\frac{i_L}{C_1} + \frac{i_{PV}}{C_1} \quad (8)$$

$$\frac{dv_o}{dt} = -\frac{v_o}{RC_2} \quad (9)$$

گستته سازی معادلات زمان پیوسته روابط ۴-۹، با زمان نمونه برداری  $T_s$ ، به صورت روابط زیر قابل بیان است.

$$i_L(k+1) = i_L(k) + \frac{T_s}{L} v_{PV}(k) - \frac{T_s}{L} v_o \quad (10)$$

$$v_{PV}(k+1) = -\frac{T_s}{C_1} i_L(k) + v_{PV}(k) + \frac{T_s}{C_1} i_{PV}(k) \quad (11)$$

$$v_o(k+1) = \frac{T_s}{C_2} i_L(k) + \left(1 - \frac{T_s}{RC_2}\right) v_o(k) \quad (12)$$

$$i_L(k+1) = i_L(k) + \frac{T_s}{L} v_{PV}(k) \quad (13)$$

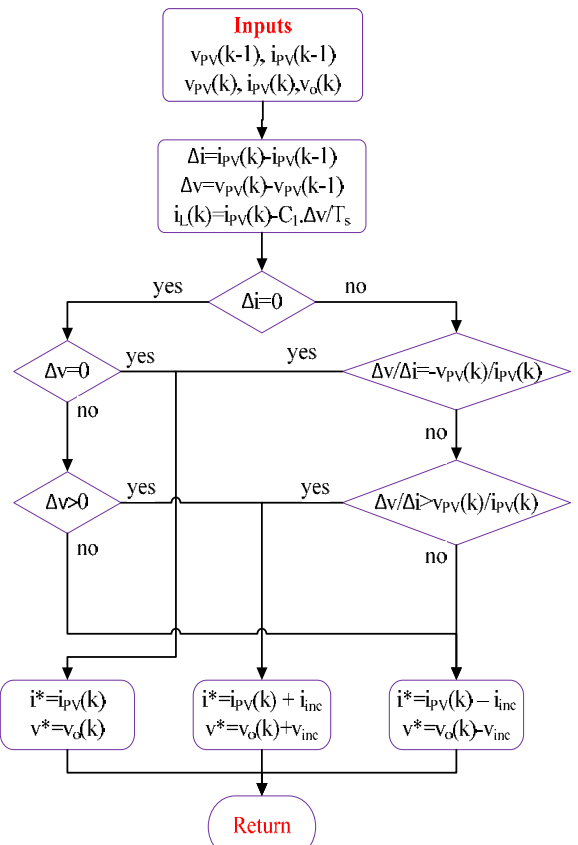
$$v_{PV}(k+1) = -\frac{T_s}{C_1} i_L(k) + v_{PV}(k) + \frac{T_s}{C_1} i_{PV}(k) \quad (14)$$

$$v_o(k+1) = \left(1 - \frac{T_s}{RC_2}\right) v_o(k) \quad (15)$$

معادلات زمان گستته مبدل بوست را می توان به صورت

ماتریسی زیر خلاصه کرد.

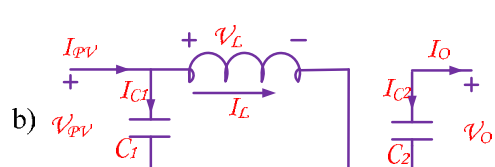
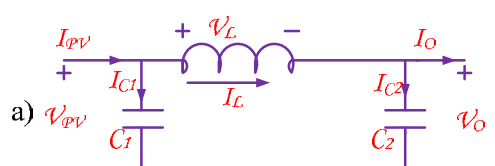
$$\begin{bmatrix} i_L(k+1) \\ v_{PV}(k+1) \\ v_o(k+1) \end{bmatrix} = \begin{bmatrix} 1 & \frac{T_s}{L} & -s\frac{T_s}{L} \\ -\frac{T_s}{C_1} & 1 & 0 \\ s\frac{T_s}{C_2} & 0 & \left(1 - \frac{T_s}{RC_2}\right) \end{bmatrix} \cdot \begin{bmatrix} i_L(k) \\ v_{PV}(k) \\ v_o(k) \end{bmatrix} + \begin{bmatrix} 0 & \frac{T_s}{C_1} & 0 \end{bmatrix}^T \cdot i_{PV}(k) \quad (16)$$



شکل(۵): فلوچارت الگوریتم رسانایی افزایشی بهبود یافته

### ۴- مبدل بوست، طراحی و پیاده سازی DC-DC (MPC) کنترلر پیش بین

ساختار مبدل بوست نشان داده شده در شکل(۱) به دو حالت سوئیچ باز و بسته مطابق شکل (۶) نشان داده شده است. شکل (۶.a، ۶.b) به ترتیب مدار معادل مبدل بوست در حالت سوئیچ باز (S=1) و سوئیچ بسته (S=0) را نشان می دهدند. معادلات مدار معادل این دو حالت به صورت روابط ۹-۴ آورده شده است.



شکل(۶): مدار معادل مبدل بوست در دو حالت S=0 (سوئیچ بسته) و S=1 (سوئیچ باز)

## بیست و ششمین گنفرانس بین المللی برق

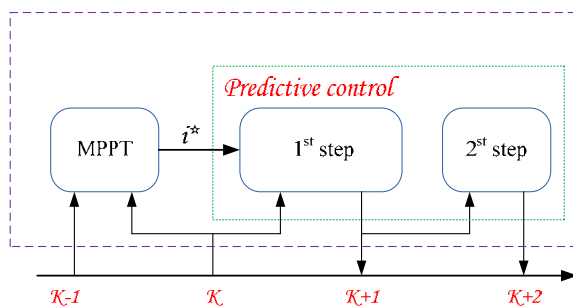
$$v_{PV}(k+n+1) = -\frac{T_s}{C_1} i_L(k+n) + v_{PV}(k+n) + \frac{T_s}{C_1} i_{PV}(k+n) \quad (18)$$

$$v_O(k+n+1) = s \frac{T_s}{C_2} i_L(k+n) + (1 - \frac{T_s}{RC_2}) v_O(k+n) \quad (19)$$

اگر افق کنترل را ۲ انتخاب کنیم در این صورت تابع هزینه به فرم زیر اصلاح می شود.

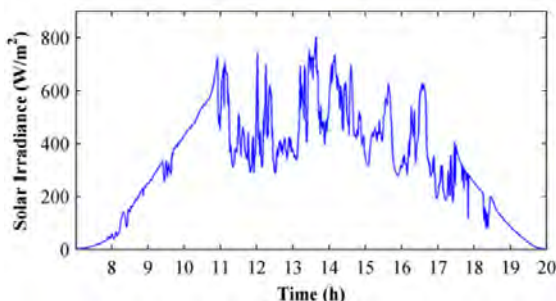
$$J_{s=0,1}^2 = w_A |v_O(k+2)_s - v^*|^2 + w_B |i_L(k+2)_s - i^*|^2 + J_{s=0,1}^1 \quad (20)$$

در رابطه بالا  $J_{s=0,1}^1$  تابع هزینه مربوط به یک گام جلوتر و جریان و ولتاژ رابطه (۲۰) مربوط به دو گام جلوتر ( $k+2$ ) است. شکل (۸) حالتی را نشان می دهد که افق کنترل ۲ انتخاب شود.



شکل (۸): ترتیب زمانی بین کنترلهای (MPPT و MPC)

خروجی آرایه های خورشیدی با توجه به شرایط آب و هوایی تغییر می کند، بر این اساس از جمله مشخصاتی که بر بازدهی پنلها تاثیر مستقیم می گذارد میزان تابش دریافتی آرایه از خورشید در طول روز است. شکل (۹) تغییرات تابش خورشید در طول یک روز بهاری از طلوع تا غروب خورشید را نشان می دهد.

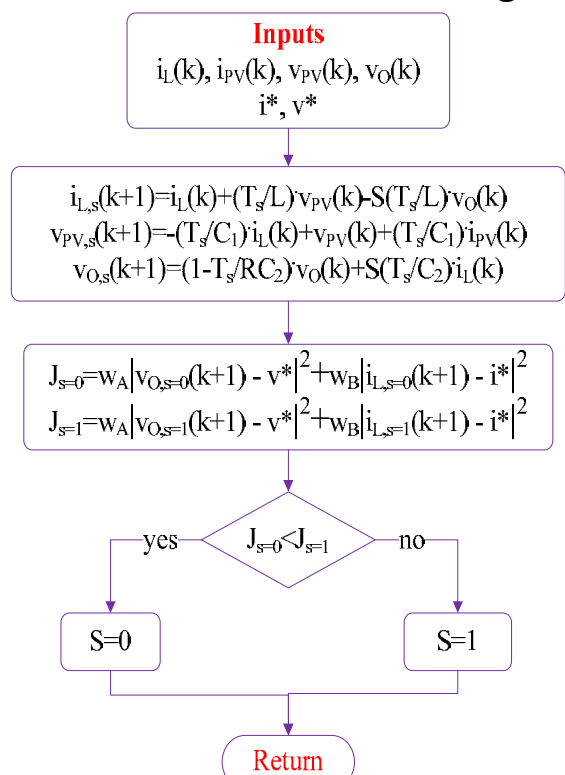


شکل (۹): تغییرات شدت تابش در طول یک روز بهاری

طبق معادله (۱۶)، در زمان نمونه برداری بعدی ( $k+1$ )، متغیر های کنترلی ( $i_L, v_{PV}, v_O$ ) می توانند پیش بینی شوند. تابع هزینه تعریف شده  $J$  رابطه (۱۷)، برای دو حالت سوئیچ باز و بسته تعیین می کند که در گام بعدی سوئیچ باز باشد یا بسته.

$$J_{s=0,1}^1 = w_A |v_O(k+1)_s - v^*|^2 + w_B |i_L(k+1)_s - i^*|^2 \quad (17)$$

فلوچارت مربوط به الگوریتم MPC در شکل (۷) این روند را توضیح می دهد.

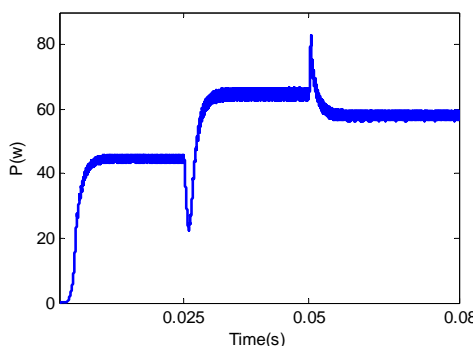


شکل (۷): فلوچارت الگوریتم کنترل پیش بین جهت کنترل سوئیچ مبدل

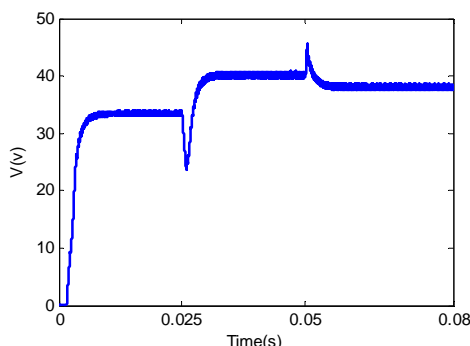
تابع هزینه  $J$ ، تابعی از جریان و ولتاژ مرجع بدست آمده از الگوریتم INC و متغیرهای کنترلی بدست آمده از الگوریتم MPC است.  $w_B, w_A$  ضرایب جریمه مربوط به خطای ولتاژ و جریانند که به ترتیب دارای بعد  $[1/V]$ ،  $[1/A]$  هستند. در روش MPC می توان افق کنترل را به  $n$  افزایش داد. در این صورت معادلات زمان گستته (۱۰-۱۵) به شکل روابط (۱۶-۱۹) باز نویسی می شوند.

$$i_L(k+n+1) = i_L(k+n) + \frac{T_s}{L} v_{PV}(k+n) - s \frac{T_s}{L} v_O(k+n) \quad (17)$$

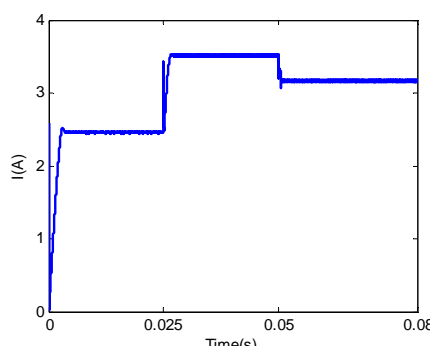
## بیست و ششمین کنفرانس بین المللی برق



شکل(۱۲): ردیابی ماکزیمم توان دریافتی بار تحت تغییرات تابش



شکل(۱۳): تغییر در ولتاژ بار جهت دریافت توان ماکزیمم تحت تغییرات سریع تابش



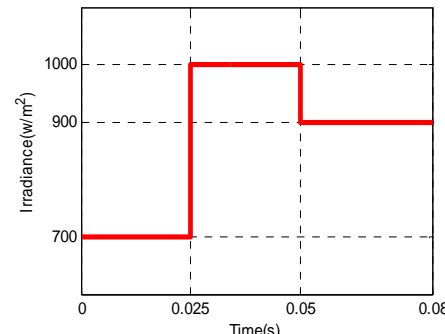
شکل(۱۴): تغییر در جریان آرایه جهت انتقال توان ماکزیمم تحت تغییرات سریع تابش

همچنین در اکثر موارد عواملی همچون دما در اندازه مقاومت بار تاثیر گذارند. تغییر در مقاومت بار باعث جابجایی نقطه کار سیستم، و به تبع آن سبب کاهش توان دریافتی بار از آرایه خورشیدی می شود. کنترل طراحی شده باید توانایی ردیابی نقطه ماکزیمم توان را در اثر تغییرات بار داشته باشد. با اتصال بار متغیر با زمان، شکل(۱۵) به سیستم فوولتائیک توانایی کنترلر پیش بین (MPC) را در ردیابی محک می زنیم.

## ۵- نتایج حاصل از شبیه سازی در محیط مطلب

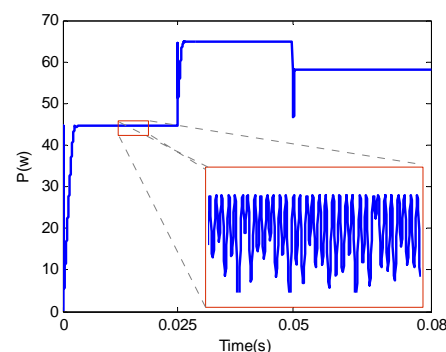
همانطور که در شکل(۹) مشاهده شد، میزان تغییرات لحظه ای تابش خورشید زیاد است بنابراین کنترلر طراحی شده جهت ردیابی نقطه ماکزیمم توان باید نسبت به تغییرات سریع تابش از سرعت و دقت بالایی برخوردار باشد.

در تصدیق سرعت و دقت روش ارائه شده نسبت به تغییرات شدت تابش ( $w/m^2$ ),تابع پالسی که تغییرات ناگهانی تابش را از ۷۰۰ به ۱۰۰۰ و از ۱۰۰۰ به ۹۰۰ نشان میدهد، به سیستم فوولتائیک اعمال می کنیم. شکل (۱۰)



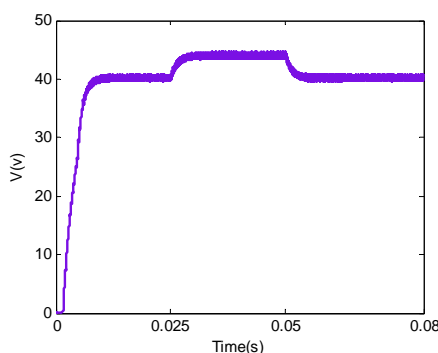
شکل(۱۰): تغییرات ناگهانی شدت تابش در محیط شبیه سازی جهت بررسی روش کنترل پیش بین

شکلهای (۱۱-۱۴) نتایج شبیه سازی شده تغییرات توان، ولتاژ و جریان، جهت دریافت ماکزیمم توان از آرایه را در صورت اعمال تابع شدت تابش شکل (۱۰) به سیستم، نشان می دهند.

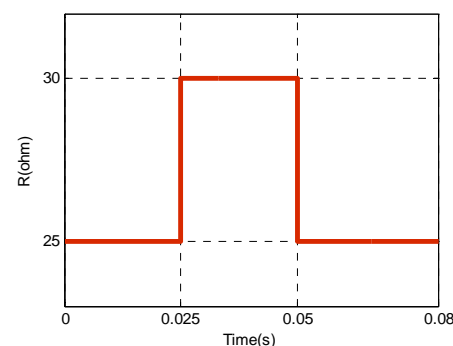


شکل(۱۱): ردیابی ماکزیمم توان آرایه تحت تغییرات سریع تابش

## بیست و ششمین کنفرانس بین‌المللی برق



شکل(۱۹): تغییر در ولتاژ بار جهت دریافت توان ماکریم تحت تغییرات بار متصل به سیستم

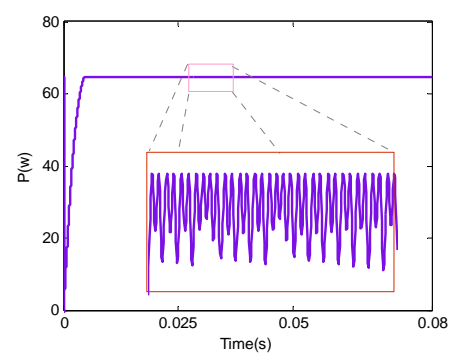


شکل(۱۵): تغییر بار متصل به آرایه فتوولتائیک جهت بررسی عملکرد سیستم

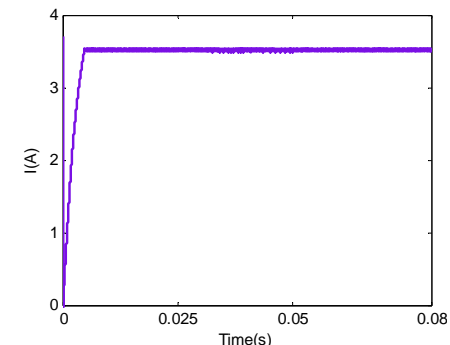
شکلهای (۱۶-۱۹) نتایج شبیه سازی شده تغییرات توان، ولتاژ و جریان، جهت دریافت ماکریم توان از آرایه فتوولتائیک، در صورت تغییر در مقدار مقاومت بار متصل به سیستم از  $25\Omega$  به  $30\Omega$  و سپس به  $25\Omega$  را نشان می دهدن. پارامترهای شبیه سازی مبدل بوست و کنترلر پیش بین در متلب که منجر به نتایج بالا شد در جدول (۲) ارائه شده اند.

جدول(۲): اندازه پارامترهای شبیه سازی مبدل بوست و کنترلر پیشین

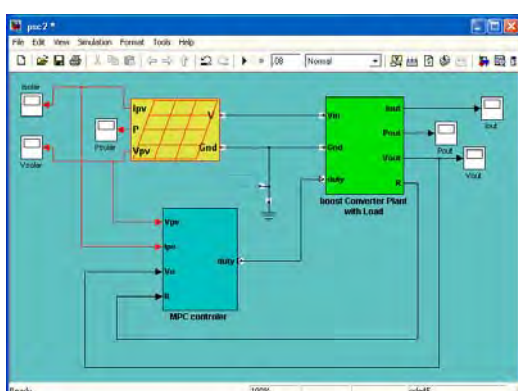
۱۰	$\mu F$	$C_1$
۱۰۰	$\mu F$	$C_2$
۲۰	mH	$L$
۱۰	$\mu S$	$T_s$
۳	---	$W_A$
۲۵	---	$W_B$
۰.۱۵	A	$i_{inc}$
۰.۱	V	$v_{inc}$



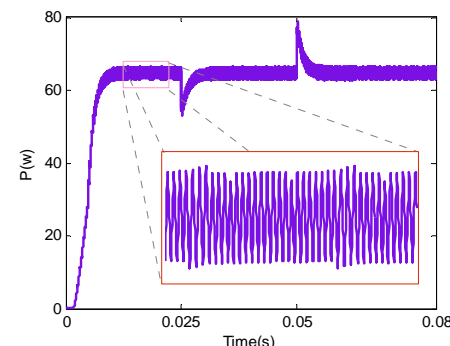
شکل(۱۶): ردیابی ماکریم توان آرایه تحت تغییرات بار متصل به سیستم



شکل(۱۷): تغییر در جریان آرایه جهت انتقال توان ماکریم تحت تغییرات بار متصل به سیستم



شکل(۲۰): شماتیک شبیه سازی شده سیستم فتوولتائیک و کنترلر پیشین در محیط متلب



شکل(۱۸): ردیابی ماکریم توان دریافتی بار تحت تغییرات بار

## بیست و ششمین کنفرانس بین‌المللی برق

Electron 2003;50(4):749–58.

8. Larbes C, Aït Cheikh S, Obeidi T, Zerguerras A. Genetic algorithms optimized fuzzy logic control for the maximum power point tracking in photovoltaic system. Renewable Energy 2009;34:2093e100.

9. Panagiotis E.Kakosimos , Antinios G. Kladas., “Implementation of photovoltaic array MPPT through fixed step predictive control technique”, Renewable Energy 36, 2508-2514, 17 March 2011.

10. Khalid M, Savkin A. A model predictive control approach to the problem of wind power smoothing with controlled battery storage. Renewable Energy 2010;35:1520e6.

11. Teng T-P, Nieh H-M, Chen J-J, Lu Y-C. Research and development of maximum power transfer tracking system for solar cell unit by matching impedance. Renewable Energy 2010;35:845e51.

12. Gow, J.A. and C.D. Manning., “Development of a Photovoltaic Array Model for Use in Power-Electronics Simulation Studies”, IEE Proceedings of Electric Power Applications, Vol. 146, No. 2, pp. 193–200, March 1999.

### نتیجه گیری

از آرایه های خورشیدی به عنوان منابع جریان جهت اتصال به شبکه توزیع استفاده می شود. ضروری است که در استفاده از این سیستمها از حداقل راندمان آرایه بهره گیری شود. در این مقاله سیستم کنترل پیش‌بین (MPC) جهت ردیابی نقطه ماکریم توان آرایه (MPPT) استفاده شده که نتایج حاصل از شبیه سازی در نرم افزار متلب سرعت و دقت بالای این روش را در ردیابی نقطه ماکریم توان به ازای تغییرات سریع جوی و همچنین تغییر در اندازه بار متصل به سیستم تصدیق می کند. بر اساس نتایج حاصل از شبیه سازی ارائه شده با اعمال این تغییرات سیستم با زمان نشست اندکی به پایداری می رسد.

### مراجع

- Enrique JM, Duran E, Cardona MS, Andujar JM. Theoretical assessment of the maximum power point tracking efficiency of photovoltaic facilities with different converter topologies. Sol Energy 2007;81:31–8.
- Al-Atrash H, Batarseh I, Rustom K, Statistical modeling of DSP-based Hill-climbing MPPT algorithms in noisy environments, In: Proc. of Applied Power Electronics Conference and Exposition, IEEE, vol. 3, Austin, Texas, USA; 2005.p. 1773e7.
- X. Liu, L.A.C. Lopes, An improved perturbation and observation maximum power point tracking algorithm for PV arrays, in: Power Electronics Specialists Conference, PESC 04, 2004, IEEE 35th Annual vol. 3, 2004, pp. 2005–2010.
- Houssamo I, Locment F, Sechilariu M. Maximum power tracking for photo-voltaic power system: development and experimental comparison of two algorithms. Renewable Energy 2010;35:2381e7.
- Masoum M, Dehbonei H, Fuchs E. Theoretical and experimental analyses of photovoltaic systems with voltage and current-based maximum power-point tracking. IEEE Transactions On Energy Conversion 2002;17:514e22.
- Hiyama T, Kouzuma S, Imakubo T, Ortmeyer TH. Evaluation of neural network based real time maximum power tracking controller for PV system. IEEE Trans Energy Convers 1995;10(3):543–8.
- Veerachary M, Senju T, Uezato K. Neural-network-based maximum-power-point tracking of coupled-inductor interleaved boost-converter-supplied PV system using fuzzy controller. IEEE Trans Ind